

京都大学工学部 学生員 龍崎博明
 メンター 正員 寺島泰
 メンター 正員 北尾高樹

1. はじめに ろ材の界面動電位(以下 ζ 電位と記す)が懸濁粒子のそれとともにろ過効率に大きな影響を及ぼすことは従来から指摘されており、筆者らも2, 3報告してきた。¹⁾ 本研究ではその ζ 電位を人為的に広く変化させたろ材を用いてろ過実験を行い、その影響をより定量的に把握するとともに、結果にヘテロ凝集理論を適用することを試みた。また操作因子を種々変化させたときのろ過効率の値をもとに、統計分布を用いてろ過効率を予測する可能性を示唆し、あわせてろ材の ζ 電位による影響を他の操作因子との関連において評価することを検討した。

2. ろ材の ζ 電位と初期ろ過係数 (1) 実験

ろ材には500~590μの砂を用い、その ζ 電位はつぎの2方法により人為的に変化させた。①所定濃度のエチレンイミン溶液に一昼夜浸漬後蒸留水により洗浄、②電解質(KCl)溶液濃度を変化。 ζ 電位の測定は既報の装置と方法によった。ろ過実験は上記のろ材を直径30mmのアクリル製ろ過塔に厚さ50mmになるよう充填(空隙率39%)し、KClを含むカオリイン懸濁液(20ppm, 20±1°C)を流下させた。KCl濃度は①の方法で ζ 電位を変化させる場合は $5 \times 10^{-4} N$ としたが、②では $2.5 \times 10^{-4} \sim 10^{-2} N$ とした。カオリインは20μ以下にふるったものを用いたが、その ζ 電位は-23.7mVであった。なお、沪速は130ml/dayとした。

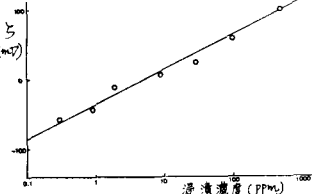
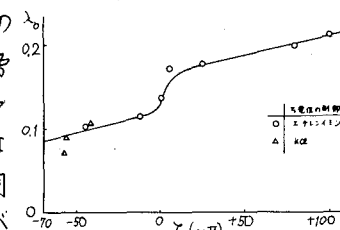
(2) 結果および考察 図-1にろ材の浸漬に用いたエチレンイミン溶液濃度によるろ材の ζ 電位の変化を示す。 ζ 電位は片対数上で濃度とともにほぼ直線的に増加しており、 $\zeta (mV) = 48.1 \log C - 37.2$ (相関係数0.9930, C: 浸漬濃度 ppm) の関係を得た。このことから、浸漬濃度を変化させることにより ζ 電位をかなりの精度で制御できることが明らかとなった。つぎに、ろ材の ζ 電位と初期ろ過係数(α_0)の関係を図-2に示す。なお α_0 は $\alpha_0 = [C_m] = -(\frac{1}{\pi}) \ln(\frac{C_0}{C})$ (C_0, C : 入口および出口濃度, l : ろ過深さ, cm) により求めた。図-2では α_0 の値は ζ 電位の上昇とともに増加しているが、とくに $\zeta = 0$ を境としてその近傍で大きな変化が生じていることはヘテロ凝集理論によっても定性的には十分予想されることであり興味深い。また、 $\zeta = -45$ mV前後ではエチレンイミンによってろ材を処理したときの α_0 と電解質濃度のみを変化させた時の α_0 がほぼ同じ値となっており、ろ材の ζ 電位の制御が十分なされているとともに α_0 の値が ζ 電位の制御方法に左右されないことを示している。

(3) ヘテロ凝集理論の適用 ろ過現象をヘテロ凝集理論によって取扱おうとする試みは数少ないものの従来から行われており、最近では今野らによっても報告されている。この理論の適用には種々の近似や仮定が必要であり、実験データとは必ずしも整合しないことが多いが、一つの試みとして図-2の結果にヘテロ凝集理論を適用し、ヘテロ凝集を起こすろ材の臨界 ζ 電位を算出した。以下簡単に記述する。

半径 a_1 で表面電位が ψ_1 の粒子と半径 a_2 で表面電位が ψ_2 である粒子の静電的相互作用のポテンシャルエネルギーは次式で表示される。

$$V_{el} = \frac{\epsilon a_1 a_2 (\psi_1^2 + \psi_2^2)}{4(a_1 + a_2)} \left[\frac{2\psi_1 \psi_2}{\psi_1^2 + \psi_2^2} \ln \left\{ \frac{1 + \exp(-2Kh_0)}{1 - \exp(-2Kh_0)} \right\} + \ln \left\{ 1 - \exp(-4Kh_0) \right\} \right] \quad \dots \text{①}$$

(K: Debye パラメータ)
 $2h_0$: 粒子表面間の最近接距離
 ϵ : 水の誘電率

図-1. 浸漬濃度と ζ 電位.図-2. ろ材の ζ 電位と初期ろ過係数(α_0)

ここで $2Kh_0 > 1$, $a_1 < a_2 = a$ (ろ材半径) とすると, $V_{el} = EA_1 A_2 \ln\{1 + \exp(-2Kh_0)\}$ ② となる。Van der waals 効果によるエネルギーは同様に, $V_A = -Aa/(12h_0)$ ③ (A; Hamaker 定数 [erg]) で表わされる。凝集臨界条件を, $V_{el} + V_A = 0$ ④ $d(V_{el} + V_A)/dh_0 = 0$ ⑤ とおくと, ②③④⑤より $2Kh_0 = 1.139$ となる。 $\gamma_K = 3 \times 10^{-8} / \sqrt{C}$ [cm] (C : mol 浓度, γ : イオンの価数), $\varepsilon = 80$ とき, 単位換算等を行うと, $A_1 A_2 = 6.25 \times 10^{14} A \varepsilon \sqrt{C}$ ⑥ を得る。 A の実測値 $= 4.44 \times 10^{-3}$ [erg]³⁾, また $C = 5 \times 10^{-1}$ [mmol/l] とき, $A_1 A_2$ を Debye-Hückel 関数によりろ電位に換算すると, $\gamma_{\text{相平衡}} = -23.7$ [mV] より凝集をおこすろ材の臨界ろ電位は -3.2 [mV] となり, 図-2 の結果とおおよそ一致している。しかしながら非常に粗い近似であり今後検討すべき点は多い。

3. 罗過効率の予測と影響因子の評価

ろ過現象を分布を用いて表わそうという試みが Cleasby⁴⁾ によってなされている。これはろ層内における懸濁粒子の挙動の確率論的性質に基き, 罗過実験データ曲線と分布曲線の近似性から両者を関連づけようとしたものである。本研究では操作因子としてろ材のろ電位を加え, 罗過効率の予測方法を示すとともに, 罗過効率におぼすろ材の界面動電位の影響を, 他の操作因子との関連においてより定量的に表示することを試みた。

(1) 実験 操作因子としてはろ速(V), 罗材径(d), 罗材のろ電位(γ)とし, これらのうち一因子のみを変化させ, 他は一定の条件で罗過実験を行った。ろ速は $80 \sim 330$ cmまで 6 点, 罗材のろ電位は $-44.9 \sim +23.8$ mV まで 4 点選択し, 罗材径は $420 \sim 500$ μ , $500 \sim 590$ μ , $590 \sim 710$ μ , $710 \sim 840$ μ , $840 \sim 980$ μ , 罗層厚さ 50 mmとしたが, 他の条件, 実験方法等は上記の2節の実験と同様である。

(2) 結果および考察 χ^2 分布は次式で定義される。

$$f(U) = \frac{U^{(\gamma/2-1)} \exp(-U/2)}{2^{1/2} \Gamma(\gamma/2)} \quad \dots \text{⑦} \quad (\text{U: 正の体積の変数})$$

$$(\gamma: \text{自由度})$$

$$(\Gamma: \text{ガンマ関数})$$

また累積確率は $P_c = \int_0^U f(U) dU$ ⑧ で表わされる。ここで実験データと⑦式を関連づけるため以下のよう仮定をする。 $\%c = P_c (C, C; \text{入口, 出口濃度})$ 。 $\alpha = \gamma$ (γ : 時間(hr))。つぎに実測値 $\%c$ ならびに⑦式

より求めた U と P_c の関係を表す図-3をもとに, 一例として各ろ電位における $\alpha-U$ 曲線を図示すると図-4を得る。等 U 曲線は図-5 のようになり, その傾きがほぼ等しいことから, $(\gamma+100)^{-0.93} = \text{一定}$ となる。同様に $\gamma^{1.0} \alpha = \text{一定}$, $d^{1.3} \alpha = \text{一定}$ を得たので, $M = V^{1.0} d^{1.3} (\gamma+100)^{-0.93} \alpha \dots \text{⑨}$ とまとめ, 対数上に M と γ の値をとると図-6 のようになる。図-6 より以上の手法を逆にたどることにより濁質濃度 C を予測することができるが, その例を図-7 に示す。さらに, 目標水質 $\%c$ と d を設定すると⑨式より γ と V の関係が得られるが, その計算結果の例を図-8 に示す。これらの結果から操作因子にろ材のろ電位を加えても, こういった手法である程度は水質予測が可能であるとともに, γ と V は二操作因子間のろ過効率に与える影響の評価を, 一定条件下での結果ではあるが数式として定量化した。その結果ろ材のろ電位も他の操作因子に劣らず重要な因子であることがより明確になった。(参考文献) 1) たとえば、尾崎, 寺島, 北尾, 第14回工討論会講演集 52 (1978). 2) 今野ら, 第15回工討論会講演集 158 (1979).

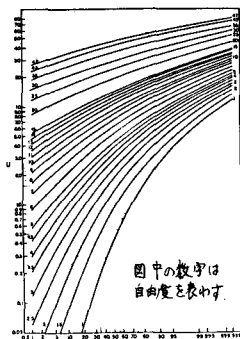


図-3. P_c と U の換算表⁴⁾

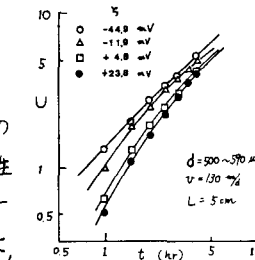


図-4. 各ろ電位に対する $\alpha-U$ 曲線

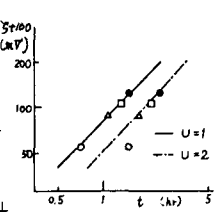


図-5. $\alpha - (5t/100)$ の等 U 曲線

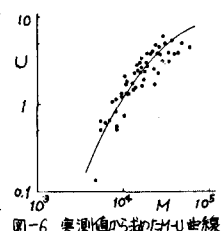


図-6. 実測値から求めた $\alpha-U$ 曲線

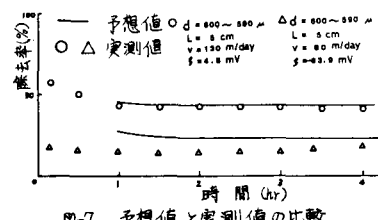


図-7. 予想値と実測値の比較

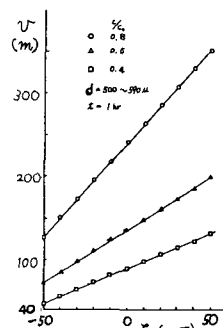


図-8. γ と V の関係 (γ : 一定)

3) J. Visser, *adv. colloid and Interface Sci.*, 3, 331 (1972). 4) J. L. Cleasby et al., *J. San. Eng. Div. ASCE*, 94(6) 620 (1968).